



## ارزیابی کارایی مدل‌های فرکتالی در توزیع اندازه ذرات رسوب (مطالعه موردی: فولاد محله سمنان)

**هانیه بیرونزاد زیارت<sup>۱</sup>, علی اصغر ذوالفقاری<sup>۲</sup>, محمدرضا یزدانی<sup>۳</sup>, علی اصغر هاشمی<sup>۴</sup> و محمد کیا کیانیان<sup>۵</sup>**

۱- دانشجوی کارشناسی ارشد، دانشیار و مریب، گروه بیابان‌زدایی دانشگاه کویرشناسی دانشگاه سمنان

۲- استادیار، گروه بیابان‌زدایی دانشگاه کویرشناسی دانشگاه سمنان، (نویسنده مسؤول) azolfaghiari@semnan.ac.ir

۳- استادیار، مرکز تحقیقات منابع طبیعی و امور دام استان سمنان

۴- تاریخ پذیرش: ۹۳/۱۲/۱۸

۵- تاریخ دریافت: ۹۳/۱۲/۲۳

### چکیده

هدف از مطالعه حاضر ارزیابی دقت سه تابع فرکتالی تیلر و ویت‌کرافت، بیرد و همکاران و کراوچنکو و ژانگ در توصیف توزیع اندازه ذرات (PSD) رسوبات در ۱۴ بند متواالی در دو عمق ۰-۱۵ و ۳۰-۱۵ سانتی‌متری است. توزیع اندازه ذرات اولیه رسوبات با روش هیدرومتری در ۲۸ نمونه تعیین گردید. مدل‌های فرکتالی ذکور بر ادادهای PSD رسوبات مورد مطالعه پرازش داده شدند. نتایج نشان داد که ارتباط منظمی در بعدهای فرکتال در بندهای متواالی وجود نداشت. هم‌چنین نتایج نشان داد که انتقال رسوبات بیشتر از خاک‌های اطراف به داخل بندها صورت گرفته است. مدل‌های دو پارامتری بیرد و همکاران و کراوچنکو و ژانگ پرازش بهتری نسبت به مدل یک پارامتری تیلر و ویت‌کرافت بر PSD رسوبات مورد مطالعه دارد. نتایج تحلیل‌های آماری نشان داد که رابطه سیگمویدی با دقت بیشتری نسبت به روابط خطی قادر به برقراری ارتباط بین بعدهای فرکتال و درصد رس، شن و سیلت می‌باشدند. آنالیز رگرسیونی گام به گام نشان داد که ارتباط قوی و معنی‌داری ( $R^2 = ۰.۹۷^{**}$ ) بین بعد فرکتال مدل تیلر و ویت کرفت با مقدار رس و شن خاک وجود دارد. لذا تعیین PSD رسوبات با استفاده از اندازه گیری مقادیر رس و شن خاک امکان پذیر می‌باشد.

**واژه‌های کلیدی:** بعد فرکتال، بندهای رسوب‌گیر، رابطه سیگمویدی

دادنده زمانی که بعد فرکتالی از طریق تخمین تعداد ذرات از مقدار جرم آنها به دست می‌آید، غالباً بیش از مقدار واقعی برآورد می‌شود. آنها رابطه توانی زیر را بر مبنای جرم نرمال شده ذرات کوچکتر از یک اندازه معین به شکل زیر ارائه نمودند:

$$M_{<X} = \left( \frac{X}{X_{\max}} \right)^{3-D_t} \quad (1)$$

که  $M_{<X}$ ,  $M_{\max}$ ,  $X$ ,  $X_{\max}$  به ترتیب جرم تجمعی ذرات کوچکتر از  $X$ ، جرم کل نمونه رسوبات، اندازه ذرات رسوبات، قطر بزرگترین ذرات و  $D_t$  بعد فرکتال PSD در نمونه‌های مورد آزمایش می‌باشد.

بیرد و همکاران (۵) مدل فرکتالی منفذ-ذره<sup>۳</sup> را برای توصیف توزیع منافذ خاک معرفی کردند. محققین مختلف نشان دادند که این مدل نیز قادر به توصیف توزیع اندازه ذرات خاک می‌باشد (۳۱، ۳۳). مدل منفذ-ذره به صورت رابطه (۲) می‌باشد.

$$M(X \leq X_i) = C_b X_i^{3-D_b} \quad (2)$$

آندازه ذرات در هر کلاس اندازه،  $X_i$  حد بالایی ذرات خاک  $C_b$  ثابت مقیاس مرکب می‌باشد.

کراوچنکو و ژانگ (۱۶) با فرض فرکتال بودن توزیع اندازه ذرات خاک یک مدل فرکتال دو پارامتری را برای توصیف توزیع اندازه ذرات خاک ارائه کردند.

(۳)

$$M(X) = \exp \left\{ \ln C_K + \left[ \frac{3D^2 - 13D + 14}{D^2 - 5D + 4} \right] \ln X \right\}$$

### مقدمه

توزیع اندازه ذرات<sup>۱</sup> اولیه (PSD) مبنای ارزیابی بسیاری از ویژگی‌های فیزیکی خاک محسوب می‌شود و از آن به طور گستردگی در تعیین خصوصیات هیدرولیکی خاک نظری منحنی رطوبتی، و هدایت آبی اشباع و غیر اشباع استفاده می‌شود (۲۱، ۱۹، ۸). توزیع اندازه ذرات خاک را می‌توان با استفاده از معادلات مختلفی نظری مدل‌های لاغر نرمال دو یا چند پارامتری (۷)، مدل دو نمایی شیوازاوا و کمبل (۲۴)، مدل چهار پارامتری فردنلاند (۱۲) و یا توابع توانی (نظری مدل‌های فرکتالی) به صورت ریاضی بیان نمود. تئوری فرکتال یک ابزار سودمند برای توصیف پدیده‌های دارای خصوصیات خود تشابه<sup>۲</sup> از جمله توزیع اندازه ذرات می‌باشد (۳۰). به همین علت در مطالعات زیادی از تئوری فرکتال برای توصیف PSD، توزیع اندازه منافذ و توزیع خاکدانه‌ها استفاده شده است (۱۵). مفهوم فرکتالی توزیع اندازه ذرات خاک ممکن بر وجود یک رابطه توانی بین تعداد و قطر ذرات است و معمولاً به صورت تعداد تجمعی ذرات بزرگتر از یک اندازه معین در مقابل قطر ذرات نشان داده می‌شود (۳۱). شکل دیگری از نمایش توزیع فرکتالی ذرات نیز به وسیله برخی محققین ارائه شده است که جرم تجمعی ذرات کوچکتر از یک اندازه معین در مقابل قطر ذرات ترسیم می‌شود. بر این اساس تیلر و ویت‌کرافت (۲۹) مدل فرکتالی را بر پایه جرم ذرات اولیه خاک توسعه دادند. آنها با فرض ثابت بودن جرم ویژه ذرات، رابطه تعداد-اندازه را به صورت جرم تجمعی ذرات کوچکتر از یک اندازه معین بیان کردند. این محققین محدودیت‌های مدل‌های مبتنی بر تعداد-اندازه را نیز مورد بررسی قرار داده و نشان

توزیع اندازه ذرات خاک را برای توصیف PSD رسوبات در بندها مورد ارزیابی قرار دادند آنها نشان دادند که مدل چهار پارامتری فردلاند بهترین مدل در توصیف PSD رسوبات است. همچنین نشان دادند که مقدار ضریب تبیین مدل فرکتالی کراوچنکو و ژانگ ( $R^2=0.86$ ) می‌باشد.

از آنجا که تاکنون در ایران پژوهش‌های محدودی با هدف بررسی کارایی مدل‌های فرکتالی در توصیف PSD انجام شده است لذا هدف از مطالعه حاضر بررسی کارایی مدل‌های فرکتالی تیلر و ویت‌کرافت (۲۹)، بیرد و همکاران (۵) و کراوچنکو و ژانگ (۱۶) در توصیف PSD رسوبات در بندهای رسوب‌گیر می‌باشد. همچنین تغییرات رس، سیلت، شن و ابعاد فرکتال در بندهای متولی از دیگر اهداف این مطالعه می‌باشد. و در انتهای رابطه ابعاد فرکتال و مقدار نسبی هر یک از ذرات اولیه رسوبات (رس، شن و سیلت) نیز در PSD رسوبات مورد مطالعه قرار می‌گیرد.

### مواد و روش‌ها

#### موقعیت منطقه مورد پژوهش

این مطالعه در منطقه پپور در طول  $14^{\circ} 32' 53''$  و عرض جغرافیایی  $57^{\circ} 17' 35''$  که در قسمت شمالی شهرستان سمنان قرار دارد، انجام شد. میانگین دما و بارندگی سالانه منطقه مورد به ترتیب برابر  $10/4$  درجه سانتی‌گراد و  $280/64$  میلی‌متر می‌باشد. که این منطقه براساس طبقه‌بندی دومارتن دارای اقلیم نیمه خشک سرد می‌باشد (۴).

به منظور جلوگیری از گسترش خندق تعداد ۱۴ بند متولی بر روی یکی از آبراهه‌های موجود در منطقه مورد مطالعه احداث شده است. طول تقریبی آبراهه  $2000$  متر و تعداد ۱۴ بند سنگی ملاتی متولی به ارتفاع  $3$  متر و با فواصل تقریباً مساوی از هم احداث شده‌اند. نمونه‌های رسوبات از پشت ۱۴ بند متولی و از دو عمق  $0-15$  و  $15-30$  سانتی‌متر برداشت شد. توزیع اندازه ذرات  $28$  نمونه رسوب در  $5$  کلاس مختلف بافتی به روش گی و بادر تعیین شدند (۱۳). به این منظور رسوبات هوا خشک نرم شده، از غربال دو میلی‌متری عبور داده شدند. سپس  $50$  گرم از هر یک از این نمونه‌ها با محلول پراکنش (هگزاماتافسات سدیم  $0.5\%$ ) تیمار شدند. برای به دست آوردن اجزای دانه‌های سیلت و رس از روش هیدرومتری بهره‌گیری شد. قرائت‌های هیدرومتر در زمان‌های  $40$  ثانیه،  $1$ ،  $2$ ،  $5$ ،  $10$ ،  $20$  دقیقه و  $1$ ،  $2$ ،  $4$  ساعت انجام شد. داده‌های جرم در قرائت‌های هیدرومتر به صورت درصد تجمعی جرم ذرات کوچکتر از یک اندازه معین به دست آمدند پس از انجام قرائت‌های هیدرومتر برای جداسازی دانه‌های شن از رس و سیلت آیچه درون سیلندر بود روی الک  $53$  میکرون ریخته شد. توزیع اندازه ذرات شن جدا شده نیز با استفاده از سری‌های الکهای  $1/18$ ،  $1/16$ ،  $1/14$ ،  $1/12$ ،  $1/10$  میلی‌متر تعیین شد.

برای بررسی کارایی مدل‌های فرکتالی،  $3$  مدل فرکتالی تیلر و ویت‌کرافت (۲۹) (رابطه  $1$ ) بیرد و همکاران (۵) (رابطه  $2$ ) و کراوچنکو و ژانگ (۱۶) (رابطه  $3$ ) بر داده‌های توزیع اندازه ذرات رسوب بازش داده شدند. برآش مدل‌ها از طریق

که بعد فرکتالی توزیع اندازه ذرات خاک و  $Ck$  ضریب ثابت می‌باشد. تیلرگسللطانی و همکاران (۲۸) بعد فرکتال تیلر و ویت‌کرافت  $Dt$  را برای توصیف توزیع اندازه ذرات خاک مورد استفاده قرار دادند و همبستگی پایینی بین بعد فرکتال و درصد شن، رس و سیلت خاک مشاهده نمودند. زها و همکاران (۳۴) مدل منفذ- ذره بیرد و همکاران (۶) را برای توصیف PSD خاک‌های مورد استفاده قرار دادند. این محققین نشان دادند که بعد فرکتال منفذ- ذره شاخص مناسبی برای توصیف توزیع اندازه ذرات خاک است. آنها بیان کردند که  $D_b$  به تغییرات کلاس بافتی خاک حساس می‌باشد. زها و همکاران (۳۱) نشان دادند که بعد فرکتال مختلف، اختلاف معنی‌داری با یکدیگر دارند. آنها همچنین گزارش کردند که بعد فرکتال PSD خصوصیت مناسبی برای بیان تأثیر تغییر کاربری اراضی می‌باشد. زها و همکاران (۳۲) رابطه سیگمویدی قوی را بین  $D_b$  و درصد شن و رس خاک مشاهده کردند. بیات و همکاران (۳) همبستگی بالای بین بعد فرکتال منفذ- ذره ( $D_b$ ) و درصد رس و شن گزارش نمودند. این محققین همبستگی ضعیفی بین بعد فرکتال و درصد سیلت خاک بدست آورند. احمدی و همکاران (۱) نشان دادند که بعد فرکتال بیرد و همکاران (۵) توزیع اندازه ذرات خاک همبستگی مثبت و معنی‌داری با مقادیر رس و سیلت و تخلخل خاک و همبستگی منفی و معنی‌داری با درصد شن و میانگین هندسی قطر ذرات داشته و مقادیر بزرگتر بعد فرکتال به خاک‌های ریز بافت و مقادیر کوچکتر آن به خاک‌های درشت بافت تعلق داشته است. در مطالعه‌ی دیگری زیاو و همکاران (۳۱) نیز رابطه لگاریتمی قوی بین بعد فرکتال و درصد شن ( $R^2=0.99$ ) و رس ( $R^2=0.81$ ) خاک ملاحظه کردند. این محققین نشان دادند که رابطه‌ی ضعیفی بین بعد فرکتال و درصد سیلت وجود دارد ( $R^2=0.06$ ). بیشتر این مطالعات روابط غیرخطی را برای بیان ارتباط بین بعد فرکتال و درصد شن، سیلت و رس خاک ارائه کردند در حالی که میلان و همکاران (۱۸) گزارش کردند که همبستگی خطی معنی‌داری بین بعد فرکتال و درصد رس خاک وجود دارد.

اهمیت بررسی توزیع اندازه ذرات رسوبات در بندهای رسوب‌گیر توسط برخی از محققین مورد مطالعه قرار گرفته است به عنوان مثال زها و همکاران (۳) تأثیر توزیع اندازه ذرات رسوبات بر رشد محصولات، تنوع زیستی، کنترل سیلاب، کمیت دبی و کیفیت آب‌های زیرزمینی می‌دانند. با وجود اهمیت توزیع اندازه ذرات رسوبات، ولی مطالعه محلودی در کشور با هدف بررسی توزیع اندازه ذرات رسوبات در پشت بندهای رسوب‌گیر صورت گرفته است. می‌توان گفت که مطالعات مربوط به این موضوع محدود به پژوهش‌های صورت گرفته توسط حسنی و همکاران (۱۴)، مهدیزاده و همکاران (۱۷) می‌باشد. حسنی و همکاران (۱۴) توزیع اندازه ذرات رسوبات سه بند رسوب‌گیر در مسیر چهار رودخانه فصلی را مورد بررسی قرار دادند. این محققین نشان دادند که درصد رس و سیلت (ذرات ریز رسوبات) به دام افتاده در بندهای انتهایی افزایش می‌یابد. زها و همکاران (۳۴) چهارده مدل

که در آن AIC<sub>c</sub>، معیار اطلاعات آکایک اصلاح شده، MSE میانگین مربعات، و K تعداد پارامترها مدل PSD است. میانگین مربعات با استفاده از معادله زیر تعیین شد:

$$MSE = \frac{\sum_{i=1}^N (Y_i - Y_p)^2}{N} \quad (9)$$

#### ریشه میانگین مربعات خطای RMSE<sup>۱</sup>

این آماره با استفاده از معادله زیر تعیین می‌شود. هر مدلی که دارای کمترین RMSE در مقایسه با دیگر مدل‌ها باشد از دقت بیشتری برخوردار است.

$$RMSE = \sqrt{\frac{\sum_{i=0}^N (Y_i - Y_p)^2}{N}} \quad (10)$$

#### نتایج و بحث

##### تغییرات شن و ابعاد فرکتال در بندهای متواالی

جدول ۱ درصد نسبی ذرات اولیه نمونه‌های مورد مطالعه را نشان می‌دهد. کمترین مقادیر ذرات شن، سیلت و رس به ترتیب ۳/۶۱ و ۲۱/۷۸ و ۱۰/۷۶ درصد، و بیشترین آن به ترتیب ۵۷/۴۶ و ۷۲/۹۴ درصد بود که محدوده نسبتاً وسیع اندازه ذرات را در رسوبات مورد مطالعه نشان می‌دهد. نمونه‌های مورد مطالعه شامل ۵ کلاس بافتی، از قبیل بافت رسی سیلتی، لوم رسی، لوم سیلتی، لومی و لوم شنی بودند. به نظر می‌رسد محدوده اندازه‌ای ذرات و تنوع PSDها در کلاس‌های بافتی نمونه‌های مورد آزمایش می‌تواند نتایج این تحقیق در خصوص بررسی ارتباط بین بعد فرکتال توزیع اندازه ذرات و خصوصیات رسوبات را عمومیت بیشتری بخشد.

شکل‌های ۱ تا ۳ تغییرات همزمان بعدهای فرکتال D<sub>b</sub>، D<sub>t</sub> و درصد شن رسوبات را در ۱۴ بند متواالی و در دو عمق ۰-۱۵ و ۰-۳۰ سانتی‌متری نشان می‌دهد. نتایج نشان داد که تغییرات درصد شن در ۱۴ بند متواالی در دو عمق ۰-۱۵ و ۰-۳۰ سانتی‌متری نامنظم بوده و ارتباط منطقی بین توالی بندهای رسوب‌گیر و درصد شن وجود ندارد. شکل‌های ۱، ۲ و ۳ نشان می‌دهند که در بندهای ۰-۳، ۰-۴ و ۰-۵ ذرات درشت رسوب توسط بندهای بالا دست گرفته شده و به تدریج با حرکت به سمت پایین دست از درصد ذرات درشت رسوب کاسته می‌شود. وقوع فرآیند ترسیب انتخابی در آبراهه توسط نادو و همکاران (۲۰) و مهدی زاده و همکاران (۱۷) نیز مشاهده شده است. در صورتی که رسوبات از بندهی به بند دیگر منتقل شوند انتظار می‌رود که با حرکت به سمت پایین دست از درصد ذرات درشت کاسته شود. بر اساس قانون استوکس ذرات درشت رسوبات در زمان کوتاه‌تری ترسیب می‌باشد (گی و بادر (۱۳)، بنابراین با جدا شدن ذرات از ماتریکس خاک، ابتدا ذرات درشت در بندهای بالا دست ترسیب می‌باشد. ارزیابی توزیع اندازه رسوب بندهای ۸ الی ۱۲ نشان می‌دهد که در بندهای ابتدایی رسوبات ریزتر از بندهای انتهایی می‌باشد. بندهای ابتدایی به دلیل وجود پوشش گیاهی سبب نگهداشت و انباشته شدن رسوبات ریزتر شده‌اند اما با حرکت به سمت پایین دست از کارایی بندها کاسته شده و رسوبات در آنها درشت‌تر می‌شوند. نتایج مشابه‌ای برای تغییرات ابعاد فرکتال در بندهای متواالی نیز مشاهده شد. نتایج نشان می‌دهد که

رگرسیون غیر خطی و با بهینه‌سازی مجموع مربعات خطای با استفاده از برنامه کامپیوتری Matlab انجام شد (۲۷). به منظور بررسی ارتباط بین پارامترهای مدل‌های فرکتالی و درصد شن، سیلت و رس از معادلات رگرسیون غیر خطی سیگمویدی سه پارامتری (رابطه ۴) و معادلات خطی (رابطه ۵) استفاده شد (۳۲).

$$y = \frac{a}{1 + e^{(\frac{x-x_0}{b})}} \quad (4)$$

$$y = a_2x + b_2 \quad (5)$$

که a، b، a<sub>2</sub> و b<sub>2</sub> پارامترهای معادلات می‌باشند.

##### ارزیابی کارایی مدل‌ها

یکی از ساده‌ترین روش‌های ارزیابی مدل‌ها، انتخاب مدلی است که دارای کمترین اختلاف با داده‌های مشاهده‌ای (میزان خطای) باشد. بنابراین هر مدلی که بزرگترین ضریب تبیین (R<sup>2</sup>) و یا کوچکترین خطای برازش را تولید کند، بهترین مدل محسوب می‌شود. در این شرایط اهمیت تعداد پارامتر در بررسی دقت مدل در نظر گرفته نمی‌شود. محققین برای رفع این مشکل آماره‌هایی را ارائه کردند که براساس آنها تعداد پارامترهای مدل نیز در بررسی کارایی مدل در نظر گرفته می‌شود. بنابراین در این در تحقیق از آماره‌های که تعداد پارامتر مدل را در کارایی مدل‌ها در نظر می‌گیرند، استفاده شد. این آماره‌ها عبارتند از:

##### ضریب تبیین (Ra)<sup>۲</sup>

ارزش ضریب تبیین Ra<sup>2</sup> معمولاً با افزایش تعداد پارامترهای مدل (K) زیاد می‌گردد. بنابراین لازم است مشخص گردد که آیا توانایی یک مدل در برازش بهتر بر داده‌های اندازه‌گیری شده به ذات مدل بستگی دارد و یا آن که فقط ناشی از افزایش تعداد پارامترها است. به این علت از ضریب تبیین Ra<sup>2</sup> برای حذف اثر تعداد پارامترها استفاده می‌شود و برای مقایسه مدل‌های دارای تعداد متفاوت پارامترها، مورد استفاده قرار می‌گیرد (۲۳).

$$Ra^2 = 1 - \left( \frac{N-1}{N-K} \right) \frac{SSE}{SST} \quad (6)$$

که SSE مجموع مربعات خطای SST مجموع مربعات کل مقادیر اندازه‌گیری شده و N تعداد داده‌های اندازه‌گیری شده برای هر نمونه رسوب می‌باشد. مجموع مربعات خطای با استفاده از معادله زیر تعیین شد.

$$SSE = \sum_{i=0}^N (Y_i - Y_p)^2 \quad (7)$$

که در این معادله Y<sub>i</sub> و Y<sub>p</sub> به ترتیب جرم تجمیعی ذرات اندازه‌گیری شده و برآورده شده می‌باشند.

##### معیار اطلاعات آکایک (AIC<sub>c</sub>) اصلاح شده

در معیار اطلاعات آکایک، مدلی که دارای کوچکترین AIC<sub>c</sub> باشد بهترین مدل انتخاب خواهد شد. رابطه (۸) نحوه محاسبه آماره آکایک را نشان می‌دهد (۸).

$$AIC_c = N \times \ln(MSE) + 2 \times K + \frac{2K(K+1)}{N-K-1} \quad (8)$$

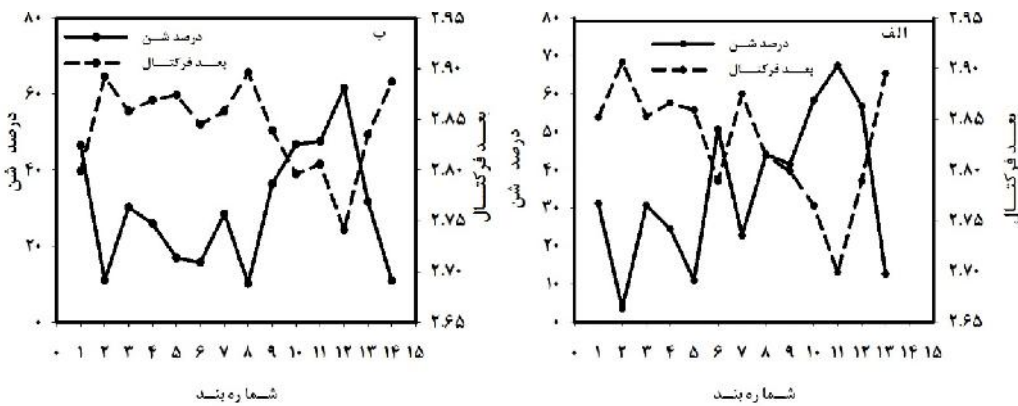
رسوبات در بندهای پایین دست، ریزتر از خاک اصلی می‌باشد. در حالی که در بندهای پر، توزیع اندازه ذرات رسوبات در بندهای پایینی درشت تر از بندهای ابتدایی می‌باشد. به عبارت دیگر این محققین نیز ارتباط مشخصی بین توزیع اندازه ذرات رسوبات و توالی بندها مشاهده نکردند.

روند تغییرات ابعاد فرکتال و درصد شن مخالف هم می‌باشد یعنی با افزایش بعد فرکتال درصد شن کاهش می‌یابد. حسنی و همکاران (۱۶) توزیع اندازه ذرات رسوب را در ۳ بند متوازی مورد ارزیابی قرار دادند. نتایج آنها نشان داد که در بندهای پایین دست درصد شن کاهش می‌یابد مهدی‌زاده و همکاران (۱۸) در بندهای رسوب‌گیر نیمه پر نشان دادند که توزیع اندازه

جدول ۱- درصد نسبی ذرات اولیه رسوبات مورد مطالعه

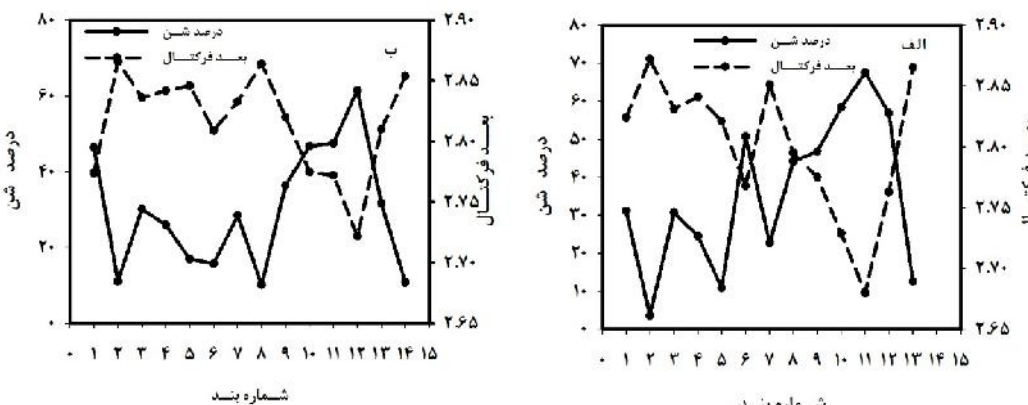
خصوصیت	درصد شن	درصد رس	درصد سیلت	Db	D	Dt
حداقل	۳/۶۱	۱۰/۷۶	۲۱/۷۸	۲/۶۸	۲/۸۷	۲/۹۰
حداکثر	۵۷/۴۶	۲۹/۲۶	۷۲/۹۴	۲/۸۷	۲/۹۵	۲/۶۹
متوسط	۳۲/۳۹	۲۲/۱۹	۴۵/۴۱	۲/۸۰	۲/۹۳	۲/۸۳

Db, D و Dt: به ترتیب بعدهای فرکتال بدست آمده از مدل‌های بیرد و همکاران (۲۰۰۰)، کراوچنکو و ژانگ (۱۹۹۸) و تیلروویت کرافت (۱۹۹۲) می‌باشند.



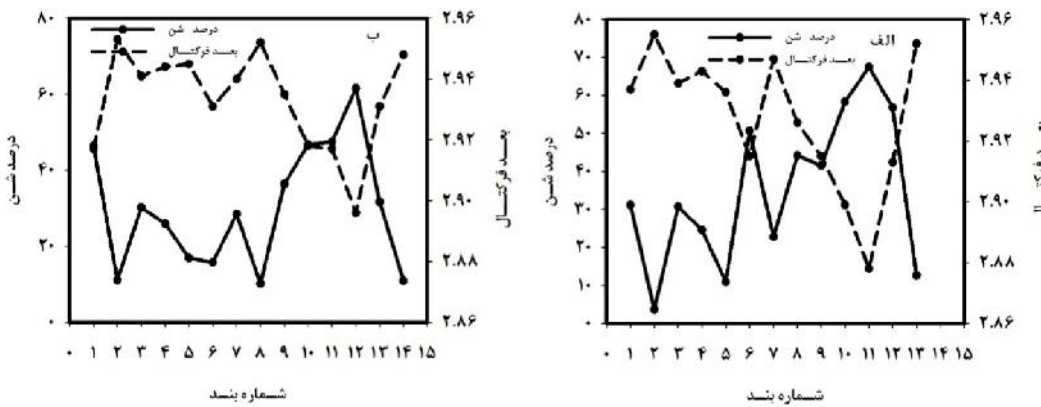
شکل ۱- ارتباط بعد فرکتال (Dt) با درصد شن در بندهای متوازی در دو عمق ۰-۱۵ (الف) و ۱۵-۳۰ (ب) سانتی‌متری

Figure 1. The relationship between fractal dimension (Dt) and sand content in successive check dams in depths of 0-15 and 15-30 cm



شکل ۲- ارتباط بعد فرکتال (Db) با درصد شن در بندهای متوازی در دو عمق ۰-۱۵ (الف) و ۱۵-۳۰ (ب) سانتی‌متری

Figure 2. The relationship between fractal dimension (Db) and sand content in successive check dams in depths of 0-15 and 15-30 cm



شکل ۳- ارتباط بعد فرکتال (D) با درصد شن دریندهای متولی در دو عمق ۰-۱۵ (الف) و ۱۵-۳۰ (ب) سانتی متری  
Figure 3. The relationship between fractal dimension (D) and sand content in successive check dams in depths of 0-15 and 15-30 cm

نشان داد که مدل‌های فرکتالی بیرد و همکاران (۵) و کراوچنکو و ژانگ (۱۶) دارای دقت بیشتری برای برآش بردادهای PSD رسوبات دارند. مدل‌های فرکتالی بیرد و همکاران (۵) و کراوچنکو و ژانگ (۱۶) مدل‌های دو پارامتری می‌باشند در حالی که مدل تیلر و ویت کرفت (۲۹) یک مدل تک پارامتری است. افزایش تعداد پارامتر مدل‌های توزیع اندازه ذرات خاک معمولاً سبب افزایش کارایی مدل‌ها می‌شود هوانگ و همکاران (۱۵). لذا نتایج این مطالعه هم نشان داد که مدل‌های دو پارامتری به نسبت مدل‌های تک پارامتری دارای دقت بالاتری هستند. این نتایج تایید کننده نتایج هوانگ و همکاران (۱۵) می‌باشد. مهدیزاده و همکاران (۱۷) نیز کارایی مدل‌های مختلف از جمله مدل فرکتالی را در توصیف توزیع اندازه ذرات رسوبات مورد بررسی قرار دادند. آنها میانگین ضریب تبیین مدل فرکتالی را برابر با ۰/۹۱۹ بدست آورند، نتایج این مطالعه مشابه نتایج مهدیزاده و همکاران (۱۷) می‌باشد.

**بررسی کارایی مدل‌های فرکتالی**  
AICc مقادیر حداقل، حداکثر و متوسط آماره‌های  $Ra^2$  و RMSE حاصل از برآش مدل‌های فرکتالی بر دادهای PSD رسوبات مورد مطالعه درجدول (۲) نشان داده شده است. کمترین مقدار آماره AICc مربوط به مدل‌های بیرد و همکاران (۵) و کراوچنکو و همکاران (۱۶) و بیشترین آن متعلق به مدل فرکتال تیلر و ویت کرفت (۲۹) است. هرچه مقدار آماره AICc در مدلی کوچکتر باشد نشان دهنده دقت بالاتر مدل مذکور می‌باشد. بنابراین این نتایج نشان می‌دهد که بیرد و همکاران (۵) و کراوچنکو و ژانگ (۱۶) نسبت به مدل تیلر و ویت کرفت با دقت بالاتری می‌توانند توزیع اندازه رسوبات را توصیف نمایند. نتایج بدست آمده برای آماره  $Ra^2$  نشان می‌دهد که کمترین متوسط آماره  $Ra^2$  مربوط به مدل فرکتال  $Dt$  و بیشترین متوسط آن برای مدل‌های بیرد و همکاران (۵) و کراوچنکو و ژانگ (۱۶) است. نتایج مشابه‌ای برای آماره RMSE نیز بدست آمد. بهطور کلی تحلیل آماره‌ها برای آماره RMSE

جدول ۲- خصوصیات آماره‌های AICc،  $Ra^2$  و RMSE مدل‌های فرکتال

Table 2. Statistics criteria of AICc,  $Ra^2$  and RMSE in fractal models

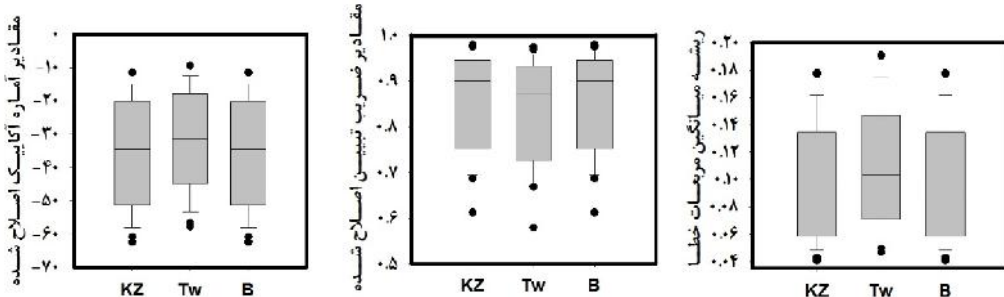
فرکتال ها	حداقل AICc	حداکثر AICc	متوسط AICc	حداقل $Ra^2$	حداکثر $Ra^2$	متوسط $Ra^2$	حداقل RMSE	حداکثر RMSE	متوسط RMSE
تیلر و ویت کرفت	-۳۲/۲۱	-۹/۲۶	-۵۷/۵۹	-۰/۰۷	-۰/۹۷	-۰/۸۳	-۰/۰۰	-۰/۰۹	-۰/۰۹
بیرد و همکاران	-۳۵/۹۷	-۱۱/۴۱	-۶۲/۴۳	-۰/۶۱	-۰/۹۷	-۰/۸۵	-۰/۰۹	-۰/۱۷	-۰/۱۷
کراوچنکو و ژانگ	-۳۵/۹۷	-۱۱/۴۱	-۶۲/۴۳	-۰/۶۱	-۰/۹۷	-۰/۸۵	-۰/۰۹	-۰/۱۷	-۰/۱۷

تمامی رسوبات مورد مطالعه هستند. اما مدل تیلر و ویتکرفت (۲۹) به نسبت دو مدل دیگر دارای پراکندگی بیشتری بوده در نتیجه دارای دقت کمتری در در توصیف PSD رسوبات می‌باشد. مدل‌های بیرد و همکاران (۵) و کراوچنکو و ژانگ (۱۶) هرکدام دارای دو پارامتر هستند، معمولاً تعداد پارامتر بیشتر در مدل‌های پارامتریک می‌تواند سبب افزایش انعطاف‌پذیری بیشتر و دقت بالاتر مدل‌ها شود (۳۵/۶). بنابراین می‌توان انتظار داشت که دقت مدل‌های فرکتالی بیرد و همکاران (۵) و کراوچنکو و ژانگ (۱۶) دارای دقت بیشتری نسبت به مدل تیلر و ویت کرفت باشد.

شکل (۴) تغییرات آماره‌های  $Ra^2$  و RMSE مدل‌های فرکتالی مورد مطالعه را در قالب نمودار جعبه‌ای نشان می‌دهد. این نمودارها صدکهای ۹۵، ۹۰، ۸۵، ۸۰، ۷۵، ۷۰، ۶۵، ۶۰، ۵۵، ۵۰، ۴۵، ۴۰، ۳۵، ۳۰، ۲۵، ۲۰، ۱۵، ۱۰، ۵، ۰ و ۵۰ متر مکعب می‌باشند. AICc و RMSE مقادیر  $Ra^2$  و PSD رسوبات مورد مطالعه را نشان می‌دهد. هر چه طول جعبه (فاصله بین صدکهای ۹۵ و ۵۰) کوتاه‌تر باشد، پراکندگی آماره‌ها کمتر است. لذا مدلی که دارای پراکندگی کمتری در آماره‌ها باشد با دقت تقریباً یکسانی قادر به توصیف PSD تمامی کلاس‌های بافتی رسوبات می‌باشد. نتایج این نمودارها نشان می‌دهد که مدل‌های بیرد و همکاران (۵) و کراوچنکو و ژانگ (۱۶) با دقت مشابه‌ای قادر به توصیف PSD

همکاران (۳۳) می‌باشد. تیرگر سلطانی و همکاران (۲۶) نیز کارایی مدل‌های فرکتالی را برای توصیف توزیع اندازه ذرات خاک مورد بررسی قرار دادند. آنها نشان دادند که تابع فرکتالی در خاک‌های درشت بافت بهتر از خاک‌های ریز بافت قادر به توصیف PSD می‌باشد.

زها و همکاران (۳۳) مدل بیرد و همکاران (۵) را برای توصیف PSD رسوبات مورد استفاده قرار دادند. آنها نشان دادند که با افزایش اندازه ذرات دقیق مدل بیرد و همکاران (۵) در توصیف PSD رسوبات افزایش می‌یابد. این محققین میانگین ضریب تبیین حاصل از برآش مدل بیرد و همکاران (۶) را برابر با ۰/۸۷ بدست آورده‌اند. که نتایج این مطالعه مشابه نتایج زها و



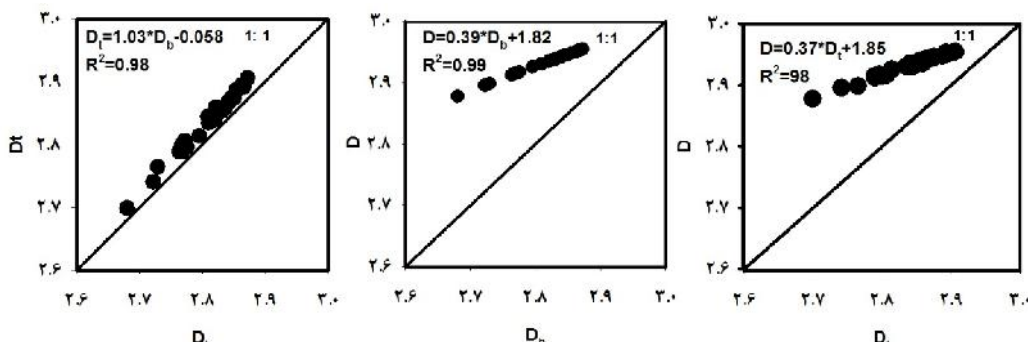
شکل ۴- نمودار جعبه‌ای تغییرات مقادیر آماره اکاییک، ضریب تبیین و RMSE در مدل‌های فرکتال (KZ, Tw, B) به ترتیب معرف مدل‌های کراوچنکو و زانگ، تیرگر و بیت‌کرفت و بیرد و همکاران می‌باشد.

Figure 4. The box plot of distribution of AICc,  $Ra^2$  and RMSE criteria in different fractal models. (KZ, Tw and B refer to Kravchenko and Zhang, Tyler and Wheatcraft and Bird fractal models, respectively)

آماری معنی‌داری را با خط ۱:۱ نشان می‌دهند. لذا می‌توان تنبیه‌گیری کرد که ابعاد فرکتال  $D_b$  و  $D_t$  اختلاف معنی‌داری را با بعد فرکتال D دارند. در حالی که شب خط (۱/۰۳) و عرض از مبداء ( $0/058$ ) معادله رگرسیونی بین  $D_b$  و  $D_t$  اختلاف معنی‌داری با خط ۱:۱ ندارند. این نتایج نشان می‌دهد که اختلاف آماری معنی‌داری بین  $D_b$  و  $D_t$  وجود ندارد.

#### بررسی ارتباط بین ابعاد فرکتال

نتایج نشان داد که مقادیر عددی پارامترهای D و  $D_b$  برای PSD رسوبات مورد آزمایش متفاوت، و اما همیستگی بالایی ( $R^2=0/99$ ) بین آنها وجود دارد (شکل ۵). مقایسه آماری شبیب و عرض از مبدأ معادلات رگرسیونی بین ابعاد فرکتال D و  $D_b$  با بعد فرکتال D نشان داد که شب (۰/۳۹) و عرض از مبداء ( $1/185$  و  $1/82$ ) این خطوط اختلاف



شکل ۵- ارتباط بین ابعاد فرکتال تیرگر و بیت‌کرفت ( $D_t$ )، بیرد و همکاران (D<sub>b</sub>) و کراوچنکو و زانگ (D) در رسوبات مورد مطالعه

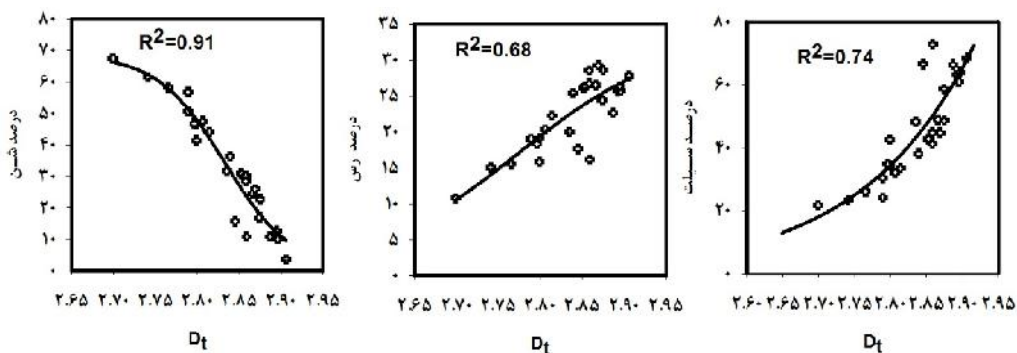
اشاره‌ای نکردند. ارساهین و همکاران (۱۰)، و سو و همکاران (۲۵) نیز گزارش کردند که بعد فرکتالی ذرات اولیه با افزایش رس افزایش و با افزایش درصد شن کاهش می‌یابد. تیرگر سلطانی و همکاران (۲۶) نیز همیستگی منفی (-۰/۶۱) و معنی‌داری را بین درصد سیلت موجود در نمونه و اندازه بعد فرکتالی مشاهده کردند. که نتایج این مطالعه تایید نتایج محققان قبلی می‌باشد. با توجه به همیستگی بالای بعدهای

#### بررسی ارتباط بین ابعاد فرکتال و پارامترهای توزیع اندازه ذرات رسوبات

نتایج نشان داد که با درشت شدن اندازه ذرات رسوب تمامی بعدهای فرکتال کاهش می‌یابند. فیلگوئرا و همکاران (۱۱) رابطه خطی و مثبتی را بین مقادیر رس و بعد فرکتالی ذرات در محدوده اندازه‌ای ۱-۵۰ میکرون مشاهده نمودند، این محققین به میزان همیستگی این رابطه و معنی‌داری آن

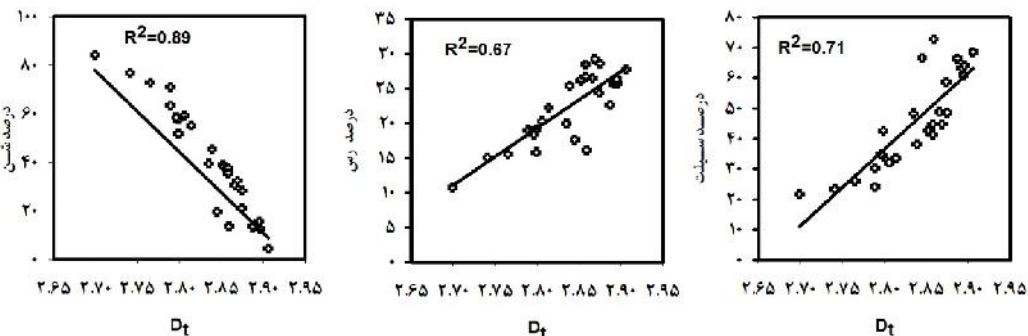
خاک را نشان می‌دهند. نتایج این مطالعه نیز نشان داد که رابطه خطی به خوبی قادر به توصیف ارتباط بین بعدهای فرکتال و درصد شن در رسوبات می‌باشد اما ارتباط سیگموئیدی با دقت بیشتری رابطه بین ابعاد فرکتال و خصوصیات بافت خاک را نشان می‌دهد. این نتایج تاییدی بر یافته‌های زهاو و همکاران (۳۳) می‌باشد. بیات و همکاران (۲) همبستگی بالایی بین بعد فرکتال منفذ - ذره ( $D_b$ ) و درصد رس و شن گزارش نمودند. این محققین همبستگی ضعیفی بین بعد فرکتال و درصد سیلت خاک بدست آوردند. در مطالعه‌ی دیگری زیاو و همکاران (۳۱) رابطه لگاریتمی قوی بین بعد فرکتال و درصد شن ( $R^2=0.81$ ) و رس ( $R^2=0.99$ ) خاک ملاحظه کردند. این محققین نشان دادند که رابطه ضعیفی بین بعد فرکتال و درصد سیلت وجود دارد ( $R^2=0.6$ ). در حالی که نتایج این مطالعه نشان داد که ارتباط قوی بین سیلت و ابعاد فرکتال وجود دارد. نتایج این تحقیق همچنین نشان داد که ارتباط قوی‌تری بین بعد فرکتال  $D_t$  و درصد شن، نسبت به بعدهای فرکتال  $D_b$  و  $D$  با درصد شن خاک وجود دارد. این نتایج نشان می‌دهد که برآوردهای  $D_t$  با استفاده از مقادیر شن به خوبی امکان‌پذیر می‌باشد.

فرکتال با درصد شن، سیلت و رس می‌توان از بعدهای فرکتال به عنوان شاخص مناسبی برای بررسی اندازه PSD رسوبات استفاده کرد. شکل‌های ۶ و ۱۰ رابطه سیگموئیدی بین  $D_t$ ،  $D_b$  و درصد شن، رس و سیلت رسوبات را نشان می‌دهد. ضرایب تبیین تابع سیگموئیدی بین  $D_t$  و درصد شن، شن و سیلت به ترتیب برابر با  $0.091 \pm 0.084$  و  $0.091 \pm 0.084$  بودند. شکل‌های ۷، ۹ و ۱۱ ارتباط ضعیفتری درصد شن، رس و سیلت خاک به صورت خطی ارائه می‌کنند. آنالیز رگرسیونی نشان داد که به طور کلی ارتباط ضعیفتری بین بعدهای فرکتال ( $D_t$ ،  $D_b$ ،  $D$ ) و درصد رس خاک وجود دارد. نتایج نشان داد که تابع سیگموئیدی به خوبی قادر به برقراری ارتباط بین بعدهای فرکتال و درصد شن رسوبات می‌باشد. میلان و همکاران (۱۸) نشان دادند که ارتباط خطی بین بعد فرکتال و درصد رس خاک برقرار است. سو و همکاران (۲۵) نیز بیان کردند که ارتباط بین بعد فرکتال و درصد رس، سیلت و شن خطی می‌باشد. زهاو و همکاران (۳۳) نشان دادند که هر دو تابع خطی و سیگموئیدی می‌توانند برای توصیف ارتباط بین بعد فرکتال و درصد شن، رس و سیلت مناسب باشند. اما آنها بیان کردند که توابع سیگموئیدی با دقت بالاتری رابطه بین ابعاد فرکتال و خصوصیات بافت



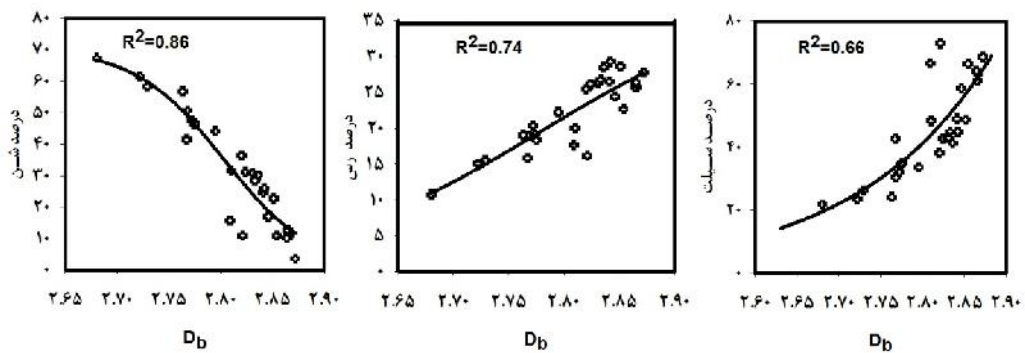
شکل ۶- رابطه بین  $D_t$  و درصد شن، رس و سیلت خاک ( $R^2$  نشان‌دهنده ضریب تبیین برازش معادله سیگموئیدی بر داده‌های اندازه‌گیری شده می‌باشد).

Figure 6. The relation between sand, silt and clay and  $D_t$  ( $R^2$  is coefficient of determination of sigmoid equation that fitting on measurement data)



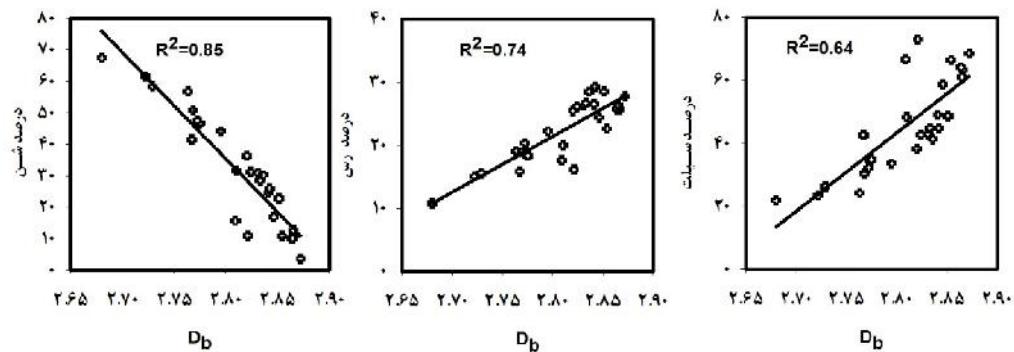
شکل ۷- رابطه بین  $D_t$  و درصد شن، رس و سیلت خاک ( $R^2$  نشان‌دهنده ضریب تبیین برازش معادله خطی بر داده‌های اندازه‌گیری شده می‌باشد).

Figure 7. The relation between sand, silt and clay and  $D_t$  ( $R^2$  is coefficient of determination of linear equation that fitting on measurement data)



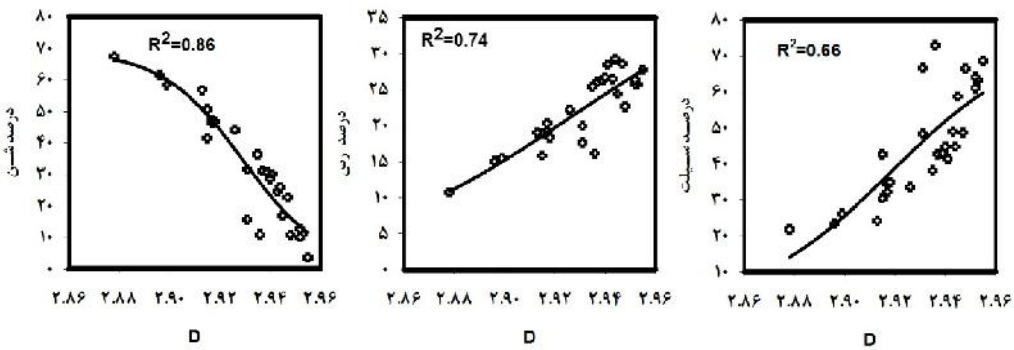
شکل ۸- رابطه بین  $D_b$  و درصد شن، رس و سیلت خاک ( $R^2$  نشان‌دهنده ضریب تبیین برآش معادله سیگمویدی بر داده‌های اندازه‌گیری شده می‌باشد).

Figure 8. The relation between sand, silt and clay and  $D_b$  ( $R^2$  is coefficient of determination of sigmoid equation that fitting on measurement data)



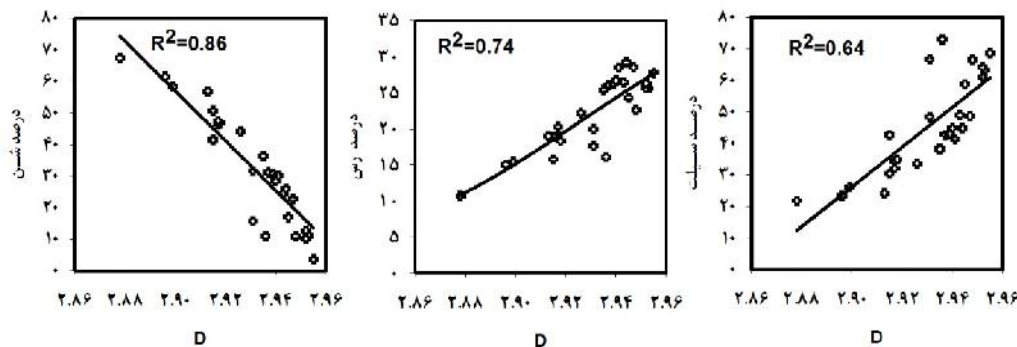
شکل ۹- رابطه بین  $D_b$  و درصد شن، رس و سیلت خاک ( $R^2$  نشان‌دهنده ضریب تبیین برآش معادله خطی بر داده‌های اندازه‌گیری شده می‌باشد).

Figure 9. The relation between sand, silt and clay and  $D_b$  ( $R^2$  is coefficient of determination of linear equation that fitting on measurement data)



شکل ۱۰- رابطه بین  $D$  و درصد شن، رس و سیلت خاک ( $R^2$  نشان‌دهنده ضریب تبیین برآش معادله سیگمویدی بر داده‌های اندازه‌گیری شده می‌باشد).

Figure 10. The relation between sand, silt and clay and  $D$  ( $R^2$  is coefficient of determination of sigmoid equation that fitting on measurement data)



شکل ۱۱- رابطه بین  $D$  و درصد شن، رس و سیلت خاک ( $R^2$  نشان دهنده ضریب تبیین برازش معادله خطی بر داده های اندازه گیری شده می باشد).

Figure 11. The relation between sand, silt and clay and  $D$  ( $R^2$  is coefficient of determination of linear equation that fitting on measurement data)

فرکتالی کاهش می یابد. ارتباط بین دقت برازش مدل های فرکتالی و درصد رس منفی بود اگرچه افزایش رس تاثیر معنی داری بر کاهش کارایی مدل های فرکتالی در توصیف PSD رسوبات نداشتند. ذوالفاری و همکاران (۲۵) نشان دادند که توزیع اندازه ذرات ذرات خاک با ریزتر شدن اندازه ذرات پیچیده تر می شود. بنابراین مدل های پیچیده تری از جمله مدل فردلاند و مدل های لوگ نرمال برای توصیف توزیع اندازه ذرات لازم است. در این شرایط از دقت مدل های ساده تری از قبیل مدل فرکtal کاسته می شود.

همبستگی بین خطای برازش (RMSE) حاصل از برازش معادلات (۱)، (۲) و (۳) بر داده های توزیع اندازه ذرات رسوبات، با درصد شن، رس و سیلت در جدول (۳) نشان داده شده است. نتایج نشان داد که همبستگی مثبت ( $r = +0.89$ ) و معنی داری ( $P < 0.01$ ) بین درصد شن و خطای برازش ۳ مدل وجود دارد. این نتایج نشان می دهد که با افزایش درصد شن کارایی و دقت برازش مدل های فرکتالی بر PSD رسوبات افزایش می یابد. در حالی که همبستگی بین RMSE و درصد سیلت منفی ( $r = -0.93$ ) و معنی دار ( $P < 0.01$ ) می باشد. نتایج نشان می دهد که با افزایش سیلت دقت برازش مدل های

جدول ۳- همبستگی ( $r$ ) بین دقت برازش (RMSE) مدل های فرکتالی و درصد شن، رس و سیلت رسوبات  
Table 3. Correlation coefficient ( $r$ ) of between accuracy of fitting (RMSE) in fractal models and sand, silt and clay content in sediment

مدل های فرکtal	سیلت (%)	رس (%)	شن (%)
مدل تبلو و بت کرفت	-0.93**	-0.75ns	-0.88**
مدل بیرد و همکاران	-0.93**	-0.74ns	-0.89**
کراوچنکو و ژانک	-0.93**	-0.74ns	-0.88**

\*\*: نشان دهنده معنی داری در سطح احتمال ۱ درصد می باشد. ns: نشان دهنده این است که ارتباط معنی داری بین متغیرهای مورد مطالعه وجود ندارد.

توزیع اندازه ذرات رسوبات به راحتی تعیین خواهد شد. در حالی که برای برآورده PSD رسوبات با استفاده از مدل های فرکتالی بیرد و همکاران (۵) و کراوچنکو و ژانک (۱۶) لازم است که بعدهای فرکtal و پارامترهای  $C_b$  و  $C_k$  با یکدیگر برآورده شوند. لذا با توجه به پایین بودن دقت برآورده پارامترهای  $C_b$  و  $C_k$  انتظار می رود که دقت برآورده PSD رسوبات با استفاده از این مدل ها نسبت به مدل تبلو و بت کرفت کمتر باشد. نتایج این تحقیق مخالف یافته های یافته های تیرگرسلطانی و همکاران (۲۶) بود. آنها رابطه رگرسیونی قویی را بین ابعاد فرکtal و درصد شن و رس خاک ملاحظه نکردند. در حالی که نتایج این تحقیق با نتایج زهاو و همکاران (۳۳) مطابق داشت. این محققین بیان کردند که ارتباط قویی بین ابعاد فرکtal در درصد رس، و شن رسوبات وجود دارد.

به منظور تعیین و توصیف ارتباط بین بعدهای فرکtal و پارامترهای  $C_b$ ،  $C_k$  مدل های فرکtalی، با درصد شن، رس و سیلت از روش رگرسیون گام به گام استفاده شد. جدول (۴) رابطه رگرسیونی بین ابعاد فرکtal و پارامترهای  $C_b$ ،  $C_k$  با درصد شن و رس را نشان می دهد. نتایج نشان داد که تاثیر سیلت در برآورده بعدهای فرکtal و پارامترهای  $C_b$ ،  $C_k$  معنی دار نمی باشد. بنابراین متغیر سیلت در معادلات رگرسیونی گام به گام حذف شد. مقادیر بالای ضرایب تبیین شده (۰.۹۷) و RMSE کوچک معادلات رگرسیونی نشان می دهد، که با اندازه گیری رس و شن رسوبات می توان ابعاد فرکtal رسوبات را تعیین کرد. این نتایج اهمیت مدل تک پارامتری فرکtalی تبلو و بت کرفت (۲۹) را نمایان می کند. زیرا این نتایج نشان می دهد که با اندازه گیری درصد شن و رس در رسوبات بندها می توان پارامتر  $D_h$  را با دقت مناسب برآورده کرد و در صورت در اختیار بودن این پارامتر

جدول ۴- روابط رگرسیونی بین ابعاد فرکتال و نسبت شن، رس در PSD رسوبات

Table 4. The multiple linear regression between fractal dimension and sand and clay content in sediment

$D_t = -2/818 \times \text{Sand} + ./.373 \times \text{clay} + 2/818$	$R^2 = .97$	RMSE= .0068
$Db = -.1779 \times \text{Sand} + ./.447 \times \text{clay} + 2/766$	$R^2 = .98$	RMSE= .0074
$D = -.683 \times \text{Sand} + ./.175 \times \text{clay} + 2/913$	$R^2 = .97$	RMSE= .0033
$Cb = -.3051 \times \text{Sand} + ./.040 \times \text{clay} + 1/10$	$R^2 = .90$	RMSE= .018
$Ck = -.298 \times \text{Sand} - ./.0403 \times \text{clay} + 1/09$	$R^2 = .90$	RMSE= .017

ژانگ (۱۶) را توصیف نمایند. نتایج این مطالعه نشان داد که روابط غیرخطی توانایی بیشتری برای توصیف ارتباط بین بعدهای فرکتالی و درصد شن، رس و سیلت رسوبات دارند. اگرچه نتایج این تحقیق نشان داد که رابطه خطی نیز قادر به بیان ارتباط بین بعد فرکتال و درصد شن، رس و سیلت هستند. بعد فرکتال مدل تیلر و ویت کرفت ارتباط قوی را با مقدار شن و رس ( $R^2 = .97^{**}$ ) نشان داد. بنابراین می‌توان با اندازه‌گیری درصد شن و رس خاک بعد فرکتال تیلر و ویت کرفت را برآورد کرد. با توجه به تک پارامتری بودن مدل مذکور برآورد PSD در صورت در اختیار بودن  $D_t$  امکان پذیر می‌باشد. ارتباط خطی قوی بین پارامترهای مدل‌ها و درصد شن و رس در رسوبات نشان داده که می‌توان از این بعدها به عنوان شاخصی از اندازه ذرات در مباحث فرسایش و حفاظت خاک استفاده کرد.

برازش مدل‌های تیلر و ویت کرفت (۲۹)، بیرد و همکاران (۵) و کراوچنکو و ژانگ (۱۶) بر داده‌های ۲۸، PSD نمونه رسوب با ۵ کلاس مختلف بافتی نشان داد که مدل دو پارامتری بیرد و همکاران (۵) و کراوچنکو و ژانگ (۱۶) برازش یکسان و بهتری بر داده‌ها نشان می‌دهند. آمارهای اکاییک،  $R^2$  و RMSE برای مدل‌های فرکتال بیرد و همکاران (۵) و کراوچنکو و ژانگ (۱۶) برازش بهتری نسبت به بعد فرکتال  $D_t$  نشان دادند. نتایج این مطالعه نشان داد که مدل‌های دو پارامتری بیرد و همکاران (۵) و کراوچنکو و ژانگ (۱۶) دارای دقت نزدیک و تقریباً یکسانی در توصیف توزیع اندازه رسوبات دارند. اگرچه بعدهای فرکتال این مدل‌ها از نظر آماری با یکدیگر اختلاف معنی داری نشان می‌دهند. نتایج نشان داد که توابع غیرخطی (سیگموئیدی) می‌تواند به ترتیب ۹۱٪، ۸۶٪ و ۸۴٪ از تغییرات شن را با بعدهای فرکتال تیلر و ویت کرفت (۲۹)، بیرد و همکاران (۵) و کراوچنکو و

#### منابع

1. Ahmadi, A., M. Neyshabouri and H. Asadi. 2010. Relationship between fractal dimension of particle size distribution. Journal of water and soil, 20/1(4): 73-81 (In Persian).
2. Bayat, H., N. Davatgar and M. Jalali. 2014. Prediction of CEC using fractalparameters by artificial neural networks. Intenationa Agrophys, 28: 143-152(In Persian)
3. Bayat, H. 2008. Create transfer functions to predict retention curve through artificial neural networks using fractal parameters and principal component analysis. Ph.D. Thesis, University of Tabriz Tabriz Iran, 180 pp (In Persian).
4. Bazoubandi, M. 2012. Evaluation of land use patterns and its optimization (Case of study: Goleroudbar Watershed). M.Sc. Thesis Faculty of Desert study University of Semnan. Semnan, Iran. 110 pp (In Persian).
5. Bird, N.R.A., E. Perrier and M. Rieu. 2000. The water retention function for a model of soil structure with pore and solid fractal distributions. European Journal of Soil Science, 51: 55-63.
6. Buchan, G.D. 1989. Applicability of the simple lognormal model to particle-size distribution in soils. Soil Science, 147: 155-161.
7. Buchan, G.D., K.S.Grewal and A.B. Robson. 1993. Improvedmodels of particle-size distribution: An illustration of model comparisontechniques. Soil Science Society of America Journal, 57: 901-908.
8. Burnham, K.P. and D.R. Anderson. 2002. Model selection and multi-model inference: a practical information-theoretic approach. Springer, 206 pp.
9. Campbell, G.S. 1985. Soil physics with BASIC: Transport models for soil-plant Systems vol (14). Elsevier, Amsterdam, 167 pp.
10. Ersahin, S., H. Gunal, T. Kutlu, B. Yetgin and S. Coban. 2006. Estimating specific surface area and cation exchange capacity in soils using fractal dimension of particle-size distribution Geoderma, 136: 588-597.
11. Filgueira, R.R., L.L. Fournier, I.C. Cecilia, P. Crlati and M.G. Garcia. 2006. Particle-size distribution in soils: A critical study of the fractal model validation. Geoderma, 134: 327-334.
12. Fredlund, M.D., D.G. Fredlund and G.W. Wilson. 2000. An equationto represent grainsize distribution. Canadian Geotechnical Journal, 37: 817-827.
13. Gee, G.W., J. W. Bauder and A. Klute. 1986. Particle-size analysis Methods of soil analysis Part 1. Physical and mineralogical methods, 383-411.
14. Hassanli, A.M., A. Esmaeli Nameghi and S. Beecham. 2009. Evaluation of the effect of porous check dam location on fine sediment retention (a case study). Environ Monit Assess, 152: 319-32.

- 71
15. Hwang, S.I., KP. Lee, D.S. Lee and S.E. Powers. 2002. Models for estimating soil particle-size distributions. *Soil Science Society of America Journal*, 66: 1143-1150.
  16. Kravchenko, A. and R. Zhang. 1998. Estimating the soil water retention from particle-size distributions: A fractal approach, *Soil Science*, 163: 171-179.
  17. Mehdizadeh, L., F. Asadzadeh and A. Samadi. 2015. Application of mathematical models to describe the particle size distribution of sediments behind successive check dams. *Journal of Watershed Engineering and Management*, 4: 323-336 (In Persian).
  18. Milla'n, H., M. Gonza'lez-Posada and M.J. Aguilar. 2003. On the fractal scaling of soil data Particle-size distributions. *Geoderma*, 117: 117-128.
  19. Mohammadi, M.H., M. Khatar and M. Vanclooster. 2014. Combining a single hydraulic conductivity measurement with particle size distribution data for estimating the full range partially saturated hydraulic conductivity curve. *Soil Science Society of America Journal*, 78: 1594-1605.
  20. Nadeu, E., A.A. Berhe, J.de Vente and C. Boix-Fayos. 2012. Erosion, deposition and replacement of soil organic carbon in Mediterranean catchments: a geomorphological, isotopic and land use change approach. *Bio Geosciences*, 9: 1099-1111.
  21. Lee, T.K. and H.M. Ro. 2014. Estimating soil water retention function from its particle-size distribution *Geosciences Journal*, 18: 219-230.
  22. Rousseva, S.S. 1997. Data transformations between soil textureschemes European Journal of Soil Science, 48: 749-758.
  23. SAS Institute. 2004. User's guide version 9.1: Statistics SAS Institute, Cary, NC.
  24. Shiozawa, S. and G.S. Campbell. 1991. On the calculation of mean particle diameter and standard deviation from sand, silt, and clay fractions. *Soil science*, 152: 427-431.
  25. Su, Y.Z., H.L. Zhao, W.Z. Zhao and T.H. Zhang. 2004. Fractal features of soilparticle size distribution and the implication for indicating desertification. *Geoderma*, 122: 43-49.
  26. Tirkarsoltani, M.T., A.A. Zolfaghari, M. Gorji and M. Shorafa. 2012. Investigatepractical constraints functions ofdescribing soil particle size distribution.*Journal of Soil and Water*, 26: 67-76 (In Persian).
  27. The Math Works, Inc. 2007. MATLAB: the language of technical computing, version 7.5.
  28. Tirkarsoltani, M.T., M. Gorji, M.H. Mohammadi and H. Millan. 2014. Evaluation of models for description of wet aggregate size distribution from soils of different land uses. *Soil Science Plant Nutrition*, 60: 123-133.
  29. Tyler, SW. and S.W. Wheatcraft. 1992. Fractal scaling of soil particle-size distributions: analysis and limitations. *Soil Science Society of America Journal*, 56: 362-369.
  30. Tyler, SW. and S.W. Wheatcraft. 1989. Application of fractal mathematics to soil water retention estimation .*Soil Science Society of America Journal*, 53: 987-996.
  31. Xiao, L., X. Sha, L. GuoBin and Z. Chao. 2014. Fractal features of soil profiles under different land use patterns on the Loess Plateau, China. *Journal of Arid Land*, 6: 550-560.
  32. Zar, J.H. 1999. Biostatistical analysis Pearson Education, London, UK 663 pp.
  33. Zhao, P., M. Shao and J. Zhuang. 2009. Fractal features of particle size redistributions of deposited soils on the dam farmlands. *Soil Science*, 174: 403-407.
  34. Zhao, P., M. Shao and R. Horton. 2011. Performance of soil particle-size distribution Models for Describing Deposited Soils Adjacent to Constructed Dams in the China Loess Plateau *Acta Geophysica*, 59: 124-138.
  35. Zolfaghari, A.A., M.T. Tirkarsoltani, M.R. Yazdani and E. Solimamni. 2014. Evaluation of efficiency models to describing soil particle size distribution *Journal of Water and Soil*, 45: 199-209 (In Persian).

## Evaluation of Fractal Models in Describing Particle Size Distribution of Sediment (Case of study: Fooladmahale of Semnan)

Haniye Babrnejad Ziarat<sup>1</sup>, Ali Asghar Zolfaghari<sup>2</sup>, Mohammd Reza Yazdani<sup>3</sup>,  
Ali Asghar Hashemi<sup>4</sup> and Mohamad Kia Kiyaniyan<sup>5</sup>

---

1, 3 and 5- M.Sc. Student, Associate Professor and Instructor, of Faculty of Desert science, Semnan University  
2- Assistance Professor, of Faculty of Desert science, Semnan University, Semnan, Iran

4- Assistance professor, Natural Resources Research Center of Semnan  
(Corresponding Author: azolfaghari@semnan.ac.ir)

Received: March 9, 2015 Accepted: April 11, 2016

---

### Abstract

The objective of current study was to investigate the accuracy of Tyler and Wheatcraft, Bird et al. and Kravchenko and Zhang fractal models in describing particle size distribution (PSD) of sediment in 14 successive check dams for two depths of 0-15 and 15-30 cm. Sediment PSD were determined in 28 samples using hydrometer method . The referred fractal models were fitted on sediments PSD data. Results indicated that there was no regular relationamong fractal dimensions in successive check dams. In addition, sediments transport from surroundingsoils was more observable in check dams. Two-parameter models of Bird et al. and Kravchenko and Zhang presented a better fit compared to one-parameter model of Tyler and Wheatcraft. The results of statistical analysis proved that the sigmoid function was able to describe the relation between fractal dimensions and clay, sand and silt percentage with a greater accuracy compared to the linear sigmoid function. Stepwise regressionanalysisdetermined a strong and significant correlation ( $R^2= 0.97^{**}$ ) between fractal dimensionobtained from Tyler and Wheatcraft modelwithclay and sandcontents. According the result of this study, the determination of sediment PSD is possible bymeasurement of clayandsand amount.

**Keywords:** Check Dams, Fractal Dimensions, Sigmoid Function